

## I-7 中子海岸における波浪について

愛媛大学工学部

正員 柳沼忠男

愛媛大学工学部

正員 ○伊福誠

### 1. まえがき

海岸構造物を計画・設計するためには、海岸波浪を適確に予知あるいは追算することが必要となってくる。通常、海岸構造物は比較的浅い所で築造されるから、浅海領域における海岸波浪の特性を適確に把握することが必要になってくる。浅海における資料は深海におけるものと比べ、非常に少ない。

この研究は、中子海岸を対象領域として、伊予市大字森の伊予波浪観測所（北緯  $33^{\circ}43'$ 、東経  $132^{\circ}40'$ ）と越智郡菊間町大字城ヶ西の菊間波浪観測所（北緯  $34^{\circ}02'$ 、東経  $132^{\circ}50'$ ）に設置されている建設省の水压式波高計による波浪資料を解析して浅海における波浪の特性を調べようとしたものである。図-1は、伊予及公菊間の兩波浪観測所の水压式波高計の位置を示す。

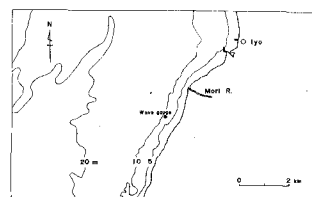
### 2. 解析結果

伊予及公菊間の兩波浪観測所からの波浪資料を有義波高及公波浪スペクトル法により解析した。用いた資料は、伊予及公菊間で、それぞれ、昭和48年11月17日5時～12月28日23時及昭和48年10月22日1時～12月31日5時ものである。

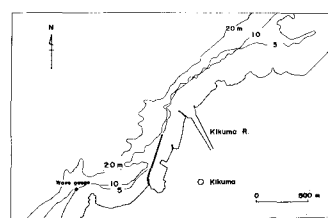
得た有義波高、有義波周期は、伊予及公菊間で、それぞれ、0.63～2.11 m, 5.1～6.7 sec 及び 0.22～1.13 m, 3.6～4.9 sec である。

一般に、圧力変動スペクトルから換算して得た水面波形スペクトルの値は、低周波領域ではよく一致を示すが、高周波領域では、真のスペクトルより極端に大きな値を示す。そこで、スペクトルの算定に際して、伊予では  $0.255 \text{ Hz}$ 、菊間では  $0.333 \text{ Hz}$  以上の高周波側を除外した。なお、Eの算定は、スペクトルピークの高周波側を延長した直線が、スペクトル密度  $E_f = 10^2 \text{ cm}^2/\text{sec}$  ( $H_f = 20 \text{ cm}$ ) と交わる点と前述のカットオフ周波数の間の分散（斜線の部分）をカットオフ周波数までの分散に加えて得たものを又書した。図-2はそろしたEの算出法を示す。図-3は、Eと有義波高の関係を示したものであり、図中の破線は、

Longuet-Higginsが線型確率過程モデルに基づいて得た理論直線である。この図をみると、有義波高は Longuet-Higgins の理論値よりも小さい値を示していることがわかる。また、各種平均波高についても同様な結果を得たが、これらは、著者一人が、後来、わが国各地海岸の波浪で得た結果と概ね一致する。図-4は、 $1/10$  最大波高  $H_{1/10}$  と有義



(a)



(b)

図-1 伊予及公菊間の兩波浪観測所の水压式波高計の位置

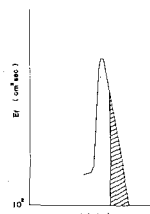
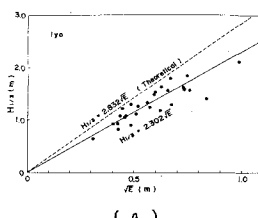
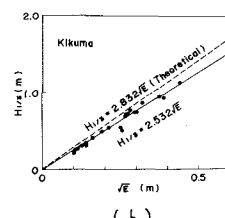


図-2 Eの算出法



(a)



(b)

図-3  $\sqrt{E}$  と有義波高の関係

波高  $H_{1/3}$  の関係を示したもので、両者の比は Longuet-Higgins の理論値と比較的よく合つてゐる。

図-5は、得た波表スペクトルと  $E_f = f^{-2} \sim f^{-7}$  の比較を示したものである。伊予及び菊間で得た有義波、水深波長比  $h/L_{1/3}$  は、それぞれ、0.191 ~ 0.232 及び 0.134 ~ 0.232 であり、解析した波浪は或海波とみなしう。この圖をみると、スペクトルのピーク付近の高周波側の値は 5 ~ 6 であり、この結果は、Neumann-Pierson が深海において見出した値すら 8 の中にあつた。これまた著者の一人が我が国各地海岸でゲイ及び階段抵抗式波高計によつて得たものと、0.06 とか 0.07 といった値が含まれており、ここで得た水深波長比 0.191 ~ 0.232 よりかなり低い。以上の結果は水深変化によるものか、風波の発達域が關係するのか、あるいは波高計の特性によるものかのどうか判断し得ない。図-6は、伊予及び菊間の而波観測所で得た資料について、有義圧力波の波形勾配と skewness の関係を、観測所を区別して示したものである。水面波の関係については、Longuet-Higgins が理論的に、著者らが観測によつて、波形勾配が大きくなつたつて skewness も大きくなるといふことを得てゐる。この圖をみると有義圧力波の波形勾配と skewness の相関性はとんじないことがわかる。ここで得た有義圧力波の波形勾配は 0.006 ~ 0.024 といつた範囲にあり、水面波に換算すると 0.011 ~ 0.042 といつた範囲にあつた。著者らが観測で得た上述の結果は水面波によつて得たもので、ここで得た結果と直接比較することはできないが、有義波の波形勾配は 0.007 ~ 0.056 の範囲にある。さらば、或海における波浪の非線型性について調べるために圧力変動のバイスペクトルを 12 倍について計算してみた。図-7は、伊予での有義波高 2.11 m、有義波周期 6.7 sec、風速 12.0 m/sec の波浪に対するものである。パワースペクトルは、0.146 Hz のオ1ピーカー他に 0.146 Hz のほぼ 2 倍の周波数 (0.313 Hz) とともに変わめてわざかであるオ2ピーカーがある。この圖をみると、自己相互干渉は、オ1ピーカー附近ではピークを境にして低周波側が正、高周波側が負の干渉を示し、オ2ピーカー附近では正の干渉をもつこと、他に相互干渉は、オ1ピーカー成分波と高周波側との干渉がかなり強く、オ2ピーカー成分波はオ1ピーカー成分波ほどではないが、高周波側との干渉が強く正の値をもつこと、オ2ピーカー成分波と 0.313 ~ 0.146 Hz (オ2 ~ オ1ピーカー) 間の成分波、0.146 ~ 0.104 Hz (オ1ピーカー ~ オ2ピーカー) 間の成分波及び 0.104 Hz 以下の成分波とは、それだけ、正、負、正の干渉があること、などがわかる。

こうした傾向は、他の柱側についても見出されますが、よくに、パワースペクトルの主ピーカーを境にして低周波側が正、高周波側が負の自己相互干渉はさわめて特徴的で、著者らが階段抵抗式波高計で水面波形によつて得た結果とは全く異なつてゐる。

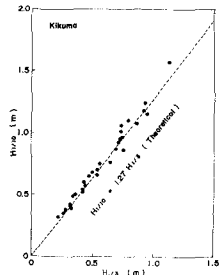


図-4  $Hs/10 + Hs/3$  の関係(菊間)

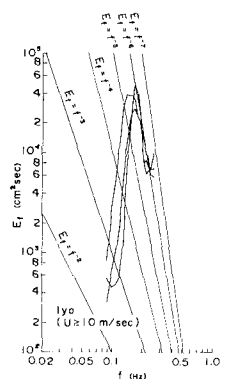


図-5 波浪スペクトルと  $E_f = f^{-2} \sim f^{-7}$  の比較(伊予)

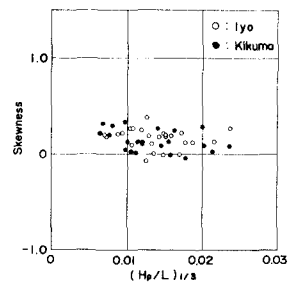


図-6 有義圧力波の波形勾配と skewness の関係

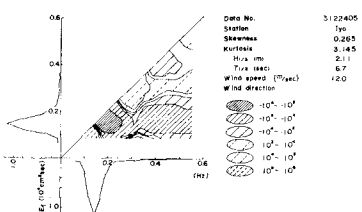


図-7 圧力変動のバイスペクトル(伊予)